

常壓燒結한 SiC-ZrB₂ 電導性 複合體의 特性에 미치는 In Situ YAG의 影響

論文

57-11-20

Effect of In Situ YAG on Properties of the Pressureless-Sintered SiC-ZrB₂ Electroconductive Ceramic Composites

辛龍德[†] · 朱陣榮^{*} · 高台憲^{**} · 李政勳^{**}
(Yong-Deok Shin · Jin-Young Ju · Tae-Hun Ko · Jung-Hoon Lee)

Abstract The effect of content of Al₂O₃+Y₂O₃ sintering additives on the densification behavior, mechanical and electrical properties of the pressureless-sintered SiC-ZrB₂ electroconductive ceramic composites was investigated. The SiC-ZrB₂ electroconductive ceramic composites were pressureless-sintered for 2 hours at 1,700[°C] temperatures with an addition of Al₂O₃+Y₂O₃(6 : 4 mixture of Al₂O₃ and Y₂O₃) as a sintering aid in the range of 8 ~ 20[wt%]. Phase analysis of SiC-ZrB₂ composites by XRD revealed mostly of α-SiC(6H), ZrB₂ and In Situ YAG(Al₅Y₃O₁₂). The relative density, flexural strength, Young's modulus and vicker's hardness showed the highest value of 89.02[%], 81.58[MPa], 31.44[GPa] and 1.34[GPa] for SiC-ZrB₂ composites added with 16[wt%] Al₂O₃+Y₂O₃ additives at room temperature respectively. Abnormal grain growth takes place during phase transformation from β-SiC into α-SiC was correlated with In Situ YAG phase by reaction between Al₂O₃ and Y₂O₃ additive during sintering. The electrical resistivity showed the lowest value of $3.14 \times 10^{-2} \Omega \cdot \text{cm}$ for SiC-ZrB₂ composite added with 16[wt%] Al₂O₃+Y₂O₃ additives at 700[°C]. The electrical resistivity of the SiC-TiB₂ and SiC-ZrB₂ composite was all negative temperature coefficient resistance (NTCR) in the temperature ranges from room temperature to 700[°C]. Compositional design and optimization of processing parameters are key factors for controlling and improving the properties of SiC-based electroconductive ceramic composites.

Key Words : Electroconductive ceramic composites, Al₂O₃+Y₂O₃ sintering additives, Pressureless-sintered, In Situ YAG(Al₅Y₃O₁₂), NTCR

1. 서 론

SiC는 꺾임강도, 경도, 화학적 안정성과 산화, 열충격 저항성 등과 같은 많은 우수한 고온 특성을 지녔지만[1] Si-C 강한 공유결합과 낮은 자기확산계수 때문에 소결조제 없이 높은 소결밀도를 얻을 수 없고, 1,000[°C]이하에서는 전기 저항률이 무(負)저항온도계수이기 때문에 온도 상승과 함께 전류를 억제할 수가 없어 과열이 발생한다[2-3]. 여러 가지 산화물 Al₂O₃, Y₂O₃, CaO와 질화물인 AlN등의 소결조제를 이용하여 액상소결(Liquid-Phase Sintering, LPS)법을 통해 소결성을 증진하도록 미세구조를 제어한다[4-5]. LPS법은 용해 재응고과정을 통하여 elongated SiC grain으로 성장되면서 β → α SiC상 변태가 일어나게 된다[6-7]. LPS-SiC의 액상은 소결냉각시에 압계에서는 Al₂O₃-Y₂O₃-SiO₂로부터 항상 결정화되며 가끔 amorphous films가 나타나기도 한다[8].

SiC 소결은 소결조제로써 aluminum, boron과 carbon을 사용하여 고온소결법으로 제조되기는 하지만 1,950 ~ 2,100[°C]의 높은 소결온도를 LPS법으로 낮출 수 있기 때문에

200 ~ 300[°C]이상 계속 떨어뜨릴 수 있는 연구가 계속 수행되고 있다[2, 4-10]. 천이 금속의 봉화물인 ZrB₂는 일반적으로 3,040[°C][11]의 고용점, 높은 경도, 우수한 내산화성, 열충격 저항, 열전도도 및 금속적인 도전성을 지녔지만, 공유결합으로 인한 저 확산계수로 고온의 소결온도와 오랜 소결 시간이 요구되고 치밀화의 속도가 느리며 낮은 가공성 등의 부족점이 문제가 된다[8-10, 12].

액상 소결조제는 입자의 경계에서 물질의 확산을 가속화 시키면서, 크랙의 진행과정을 방해하여 파괴인성과 상대밀도 증진을 가져오기도 하지만 강한 휘발성분으로 인한 저밀도 때문에 경도, 꺾임강도 등의 기계적 특성에 악영향을 미치는 경우가 발생한다[8, 13-19]. 더 나아가 SiC를 기저로 한 ZrB₂ 또는 봉화물 금속의 복합체는 SiC에 비하여 적절한 저항 값, 正(+)저항 온도계수, 꺾임강도가 크고 약 1,200[°C]까지의 내산화성이 좋기 때문에 발열체 또는 점화기 제품에 이용될 가능성이 높다[20-22]. 순수 ZrB₂ 단일 체는 1,200[°C]이상에서 B₂O₃의 강한 휘발성에 기인하여 산화가 실제 일어나지만 SiC를 첨가하면 봉 규산염 유리가 외부 표면에 형성되고 계면의 산화 반응을 향한 시편 내부로의 침투를 저지하기 되어 훨씬 더 효과적인 산화 저항이 나타나기 때문에 1,500[°C]까지도 안전한 내산화 특성을 갖게 된다[23-26]. 문현 [2, 13]에서 발표한 전기전도성 복합체 SiC-ZrB₂는 1,800 ~ 1,950[°C] 고온 가압 소결법을 사용하여 제조한 것으로 제조단가가 높고, 실제 형상에 가까운 제품의 제조가 곤란하다는 등의 문제점이 있다.

* 正會員 : 工科大學 電氣工學科 博士課程

** 準會員 : 工科大學 電氣工學科 碩士課程

† 教授 저자, 正會員 : 工科大學 電氣工學科 教授 · 工博

E-mail : ydshin@wonkwang.ac.kr

接受日字 : 2008年 9月 2日

最終完了 : 2008年 10月 15日

본 연구에서는 상압 소결법으로 액상소결조제 $\text{Al}_2\text{O}_3+\text{Y}_2\text{O}_3$ 의 첨가량에 따라 제조한 $\text{SiC}-\text{ZrB}_2$ 도전성 복합체의 기계적, 전기적 특성을 평가할 목적으로 상대밀도, X-ray 상 분석, 꺾임강도, Vicker's 경도, SEM관찰, 온도에 따른 전기 저항률을 조사하였다. 이에 따른 최적 설계요소와 제조기법을 찾고 고온 가압 소결법에 의해 제조단가가 낮으며 대량생산 시스템인 상압 소결가능성을 진단하였다.

2. 실험방법

2.1 출발 원료 및 혼합

본 실험에 사용된 원료는 β - SiC (Grade BF12, H. C. Starck Inc, Germany), ZrB_2 (Grade B, H. C. Starck Inc, Germany), Al_2O_3 (Showa Chemical Inc, Japan)와 Y_2O_3 (Aldrich Chemical Company, Inc, USA)]를 이용하였다. 출발원료는 61[vol%]의 β - SiC 에 39[vol%]의 ZrB_2 를 혼합하고, 이 혼합물에 8, 12, 16, 20[wt%]의 $\text{Al}_2\text{O}_3+\text{Y}_2\text{O}_3$ (6 : 4 mixture of Al_2O_3 and Y_2O_3)을 첨가하였다. 이렇게 준비된 분말을 아세톤과 SiC ball을 이용하여 잘 혼합시킨 후 80 [°C]에서 6시간동안 건조시켰다. 건조된 시료는 60mesh 망체로 sieve를 하였다. sieve된 분말을 상대 밀도의 50[%]까지 일축 가압하여 disc모양의 green body를 성형하였다.

2.2 소결

β - $\text{SiC}+39[\text{vol}\%]\text{ZrB}_2$ 에 $\text{Al}_2\text{O}_3+\text{Y}_2\text{O}_3$ 를 8, 12, 16, 20[wt%]씩 각각 혼합하여 일축 가압된 성형체를 흑연 몰드에 넣고 argon gas 분위기에서 소결시켰다. 소결방법은 그림 1에 나타난 바와 같이 700[°C]까지 분당 5.11[°C]로 승온하고 1시간 동안 burnt out한 후 1,700[°C]까지 분당 5[°C]로 승온하여 2시간 동안 ZrB_2 grain 성장과 β - SiC 를 elongated grain으로 변형시키기 위하여 annealing한 후 분당 600[°C]까지 5[°C]로 냉각시키고 그 이후로는 자연 냉각 시켰다.

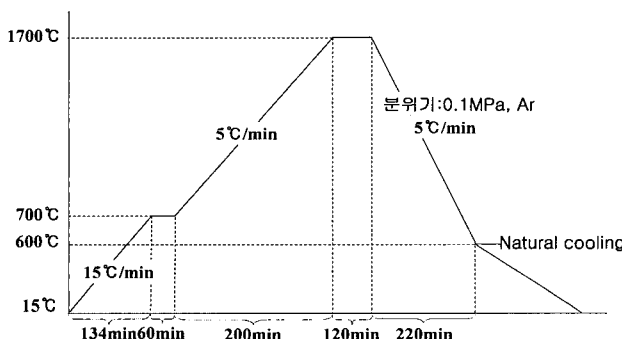


그림 1 시편제조를 위한 승온 및 냉각 프로그램

Fig. 1 Heating & cooling schedule for preparation of samples

2.3 물성 측정

β - $\text{SiC}+39[\text{vol}\%]\text{ZrB}_2$ 에 소결조제 $\text{Al}_2\text{O}_3+\text{Y}_2\text{O}_3$ 을 8, 12, 16, 20[wt%]씩 첨가한 전도성 세라믹 복합체의 이론밀도는 rule of mixture에 의해서 구해졌고, 상대밀도는 중류수를 이용한 Archimedes법으로 소결조제의 첨가량에 따른 각각의 세개

의 시편을 취하여 각 sample당 10회 측정한 값의 평균값을 취하였다. 소결시편의 상분석은 꺾임강도 측정이 끝난 각 시편의 파단면을 XRD(PW1700 system, Philips, U.S.A.)를 이용하여 분석하였다.

꺾임강도(modulus of rupture)의 측정용 시편크기는 $3\times 4\times 25[\text{mm}^3]$ 로서 표면을 $10[\mu\text{m}]$ 의 diamond paste로 최종 연마후재료시험기(Instron, Model 4204, USA)를 이용하여 cross head speed 0.5[mm/min]의 조건으로 곡강도 시험법(JIS R 1601)에 의해 3점 곡강도를 각 시편 당 3회 측정하였다.

경도 측정은 시편을 $0.1[\mu\text{m}]$ diamond suspension으로 최종 경면 가공한 후 비커스 미소경도시험기(Matsuzawa, Model DVK-2, Japan)를 이용하여 경도 시험법인 압인법(Indentation Method)으로 측정하였다. 시편에 가한 하중은 20[kgf], load speed 40[μm/sec], 유지시간은 10초로 하였으며, 각 시편 당 5회 측정하였다. 전기 저항률은 실온에서 700[°C]까지 2단자법으로 각 측정온도와 시편당 50회를 측정하였다.

3. 결과 및 고찰

3.1 상분석 및 미세구조

액상 소결 첨가제인 $\text{Al}_2\text{O}_3+\text{Y}_2\text{O}_3$ 은 SiC 와의 반응으로 인해 생성되는 Al_2O , YO , SiO , CO 등의 휘발성 성분이 기공형성을 초래할 수 있고 입계상의 *In situ* YAG($\text{Al}_5\text{Y}_3\text{O}_{12}$)상이 형성될 수도 있다. 이중 가장 많은 휘발성 성분은 Al 이고 annealing에 따라서 유리상과 *In situ* YAG상을 용융시킨다. SiO_2 는 SiC 에 항상 포함되어 있기 때문에, 액상선과 공정선은 $\text{Al}_2\text{O}_3-\text{Y}_2\text{O}_3-\text{SiO}_2$ 상평형도에 따라서 변하며 치밀화와 최종 미세구조에 영향을 미친다[8, 14-17].

상대밀도는 소결조제 $\text{Al}_2\text{O}_3+\text{Y}_2\text{O}_3$ 의 첨가량에 따라 각각 세개의 시편을 취하여 sample당 10회 실현한 측정값의 평균을 그림 2에 나타내었다. 상압 소결시 고상 소결온도보다 상대적으로 200 ~ 300[°C] 낮은 온도의 LPS법이 적용되므로 가장 취약하게 나타나는 많은 porosity를 *In Situ* YAG상으로 충진되게 하여 밀도 증진을 이루고자 하였다.

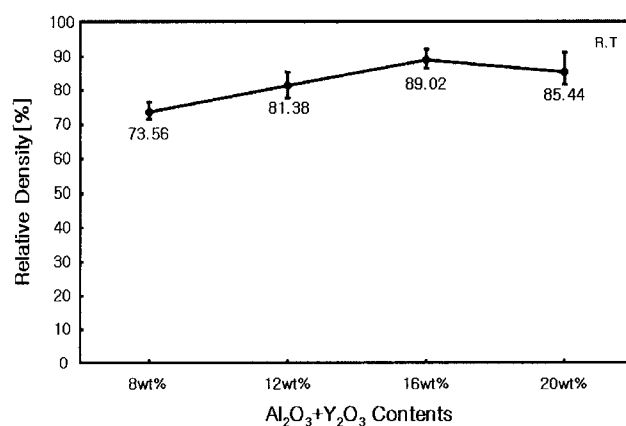


그림 2 $\text{Al}_2\text{O}_3+\text{Y}_2\text{O}_3$ 양의 변화에 따른 $\text{SiC}-\text{ZrB}_2$ 복합체의 상대밀도

Fig. 2 Relative density of the $\text{SiC}-\text{ZrB}_2$ composites with $\text{Al}_2\text{O}_3+\text{Y}_2\text{O}_3$ contents

액상 소결조제 $\text{Al}_2\text{O}_3+\text{Y}_2\text{O}_3$ 의 첨가량이 16[wt%]와 20[wt%]일 경우 *In Situ* YAG상의 peak intensity가 그림 3의 X선 회절분석에 나타난 바와 같이 비슷하게 나타나지만 상대 밀도는 16[wt%]일 경우 20[wt%]의 값보다 3.58[%] 더 높은 89.02[%]로 가장 높게 나타나고 있다. 이것은 20[wt%] 일 경우 소결과정 중 $\text{Al}_2\text{O}_3+\text{Y}_2\text{O}_3$ 의 과다 첨가로 SiC와 Al_2O_3 간의 반응으로[15, 27] 인해 생성되는 Al_2O , SiO , CO 등의 volatile components에 따른 시편 내부에서의 porosity가 *In Situ* YAG상의 생성보다 더 우선되었기 때문이다.

시편 내부 pore channel에서 높은 증기압을 유발시켜 액상 소결시의 밀도화 과정에서 중요한 역할을 하는 모세관력을 증화시키게 되어 나타난 shrinkage현상의 둔화가 기공의 형성으로 나타난 것으로 사료된다. SiC는 입방정계의 β -SiC와 육방정계 및 능면정계인 α -SiC의 2가지 종류로 대별할 수 있다. 결정구조의 기본은 SiC_4 4면체 및 CSi_4 4면체이며 Si와 C는 서로 등가 관계에 있다. SiC의 소결체의 대부분은 3C, 2H, 4H, 6H, 15R의 5종류의 동질이상 중 어느 한 개 이상으로 되어 있다. β 형은 1,500 ~ 1,600[°C] 저온 영역에서 생성하는 반면, α 형은 생성온도 범위가 넓고, 통상 1,800 ~ 2,000[°C]이상 고온 영역에서 생성하는 고온안정형이다. β 형은 1,800 ~ 2,000[°C]에서 α 형으로 불가역적으로 전이를 개시하므로 소결시 온도제어가 충분히 요구된다[6, 18, 28].

그림 3에서 나타난 바와 같이 XRD분석 결과 ZrB₂입자는 SiC matrix상에 제 2차상으로 존재하고 SiC와 ZrB₂의 반응은 일어나지 않았다. 액상 소결을 위해 소결 조제로 첨가한 Al_2O_3 과 Y_2O_3 은 액상 반응하여 *In Situ* YAG상이 $\text{Al}_2\text{O}_3+\text{Y}_2\text{O}_3$ 의 첨가량에 따라 intensity peak의 차이는 있지만 전체적으로 다 나타나고 있다. *In Situ* YAG상은 annealing 동안 plate-shaped 또는 elongated 형태로 grain 성장을 가속시켜 거칠어진 미세구조가 된다[5-6, 14-18, 28-29]. 시편제조를 위한 annealing 온도가 $\beta \rightarrow \alpha$ -SiC형의 불가역적인 온도보다는 상태적으로 100 ~ 300[°C] 낮은 온도이지만 LPS법이 적용되므로 *In Situ* YAG상이 나타나게 된바 SiC는 주로 6H polytype으로 변태하여 β 상에서 α 상으로의 상전이도 나타나고 있다. 이것은 SiC elongated grain의 성장이 $\beta \rightarrow \alpha$ -SiC로 상전이 변태와 직접적으로 관계가 있음을 의미하기 때문이다.

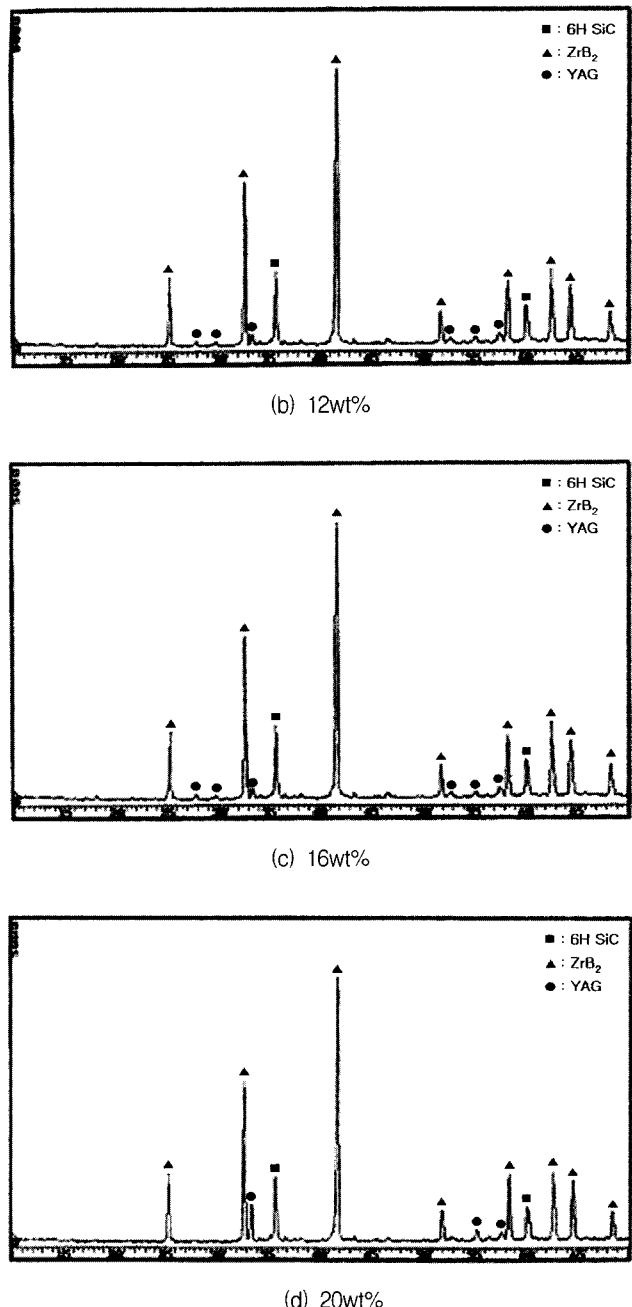
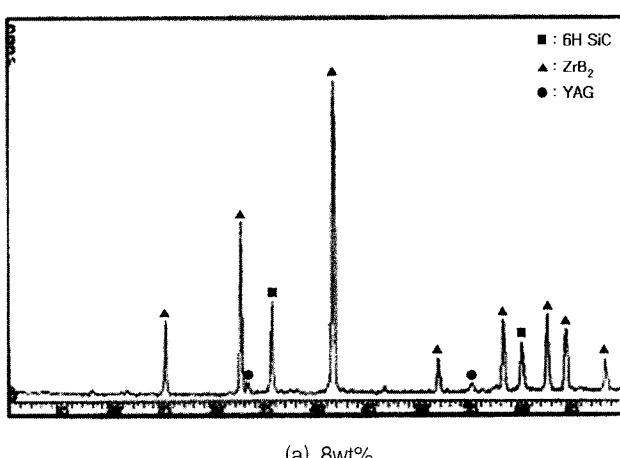


그림 3 $\text{Al}_2\text{O}_3+\text{Y}_2\text{O}_3$ 양의 변화에 따른 SiC-ZrB₂ 복합체의 X선 회절분석

Fig. 3 X-ray diffraction analysis of the SiC-ZrB₂ composites with $\text{Al}_2\text{O}_3+\text{Y}_2\text{O}_3$ contents

3.2 꺾임강도

그림 4에 나타난 바와 같이 실온에서의 꺾임강도 54.08 ~ 81.58[MPa]은 기공 없는 각각의 단일상 SiC, ZrB₂의 350 ~ 500[MPa], 200 ~ 395[MPa]값 보다는 낮게 나타나고 있다[9, 11, 30-31]. 꺾임강도는 열처리와 밀접한 grain 성장과 관계가 있고 문헌에서[32-35] 보고된 바와 같이 annealing을 통하여 plate-shaped 또는 elongated 형태로 grain 성장을 가속시켜 미세구조가 거칠어지면 파괴인성은 증가하지만 꺾임강도는 낮아진다.

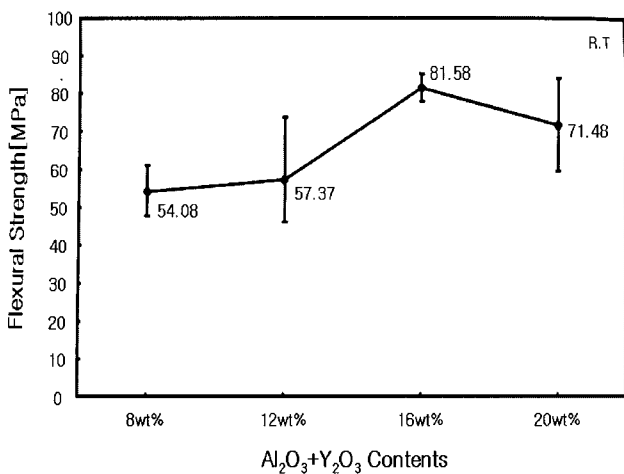


그림 4 Al₂O₃+Y₂O₃양의 변화에 따른 SiC-ZrB₂ 복합체의 꺾임강도

Fig. 4 Flexural strength of the SiC-ZrB₂ composites with Al₂O₃+Y₂O₃ contents

파괴인성의 증가는 grain morphology 뿐만 아니라 제 2차상에 따라 다르게 나타난다. 제 2차상의 성분과 적절한 annealing이 이루어지면 grain의 과성장이 나타나지 않아 미세구조가 보다 단단해 보이면서 꺾임강도가 낮아지는 것을 억제 할 수가 있다. 그림 4는 각 시편 당 3회씩 3점 곡강도 시험법(JIS R1601)으로 실온에서 측정하여 꺾임강도 평균값을 나타낸 것인데 소결조제 Al₂O₃+Y₂O₃의 첨가량이 8[wt%]일 때 54.08[MPa]로 가장 낮게 나타나고, 16[wt%]일 때 20[wt%]일 때의 71.48[MPa]보다 10.10[MPa] 높은 81.58[MPa]로 가장 높게 나타나고 있다. 이는 소결과정 중 carbon의 oxygen에 대한 높은 친화력으로 인한 SiC와 Al₂O₃간의 반응으로 인해 생성되는 Al₂O, SiO, CO등의 volatile components가 시편 내부에서 기공으로 존재하는 양이 16[wt%]일 때 가장 낮게 나타나고 있기 때문이다. $\sigma_c = v_f \sigma_{SiC} + (1-v_f) \sigma_{ZrB_2}$ 에 (v_f 는 SiC의 체적율) 의거한 기공이 없는 SiC-ZrB₂계 복합체의 꺾임강도 291.5~459.05[MPa]와 비교하더라도 값이 낮게 나타나는 것은 기공, 입계의 변형 등의 영향 때문이라고 생각된다. 세라믹에서 꺾임 강도는 $\sigma = \sigma_0 \exp(-ka)$ (여기서 σ_0 는 어떤 결함이 없는 재료의 꺾임강도이고, a 는 잔류 기공이며 k 는 상수)의 관계식을 갖는데 위 식과도 잘 일치함을 알 수 있다[35]. annealing 후 미세구조의 기하학적 모양뿐 아니라 조성, 입계의 변형이 꺾임강도에 강한 영향을 미치고 있다고 여러 연구자들이 이미 정리하였다[36-37].

3.3 Young's modulus 및 vicker's 경도

그림 5에 나타난 바와 같이 실온에서의 Young's modulus 23.21 ~ 31.44[GPa]는 SiC, ZrB₂ 기공없는 단일상의 값 410 ~ 440[GPa], 440 ~ 539[GPa] 보다는 낮게 나타나고 있다[9, 11, 38]. Young's modulus E는 같은 기공을 갖더라도 제 2차상과 관계가 있고 amorphous 유리상들의 영향을 받는다[39]. 소결조제 Al₂O₃+Y₂O₃의 첨가량이 8[wt%]일 때 23.21[GPa]로 가장 낮게 나타나고, 16[wt%]일 때 20[wt%]일 때의 26.73[GPa]보다 4.71[GPa] 높은 31.44[GPa]로 가장 높게 나타나고 있다. 이것은 16[wt%]일 경우가 그림 3의 XRD분석에 나타난 바와 같이 In Situ YAG상의 량이

가장 많이 나타나며 volatile components와 유리상이 가장 적게 나타난 것으로 생각된다.

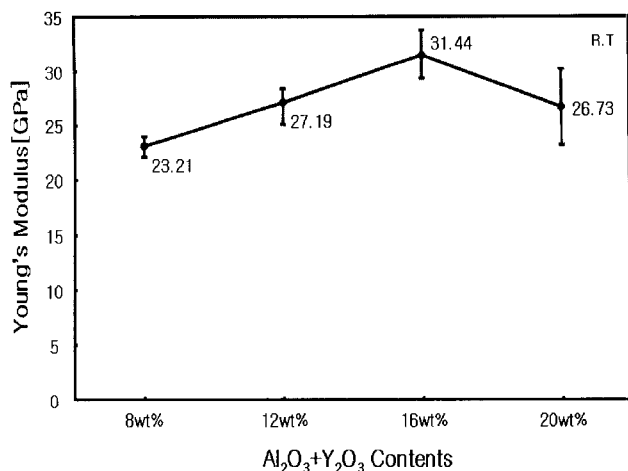


그림 5 Al₂O₃+Y₂O₃양의 변화에 따른 SiC-ZrB₂ 복합체의 Young's Modulus

Fig. 5 Young's Modulus of the SiC-ZrB₂ with Al₂O₃+Y₂O₃ contents

Gibson와 Ashby 방정식 $E = E_D(1-P)^2$ (여기서 E_D 는 기공이 없는 시편의 Young's modulus이고, P는 체적 기공률)[39-40] 또는 단일상의 $E = E_0 \exp(-bp)$ (여기서 E_0 는 기공이 없는 단일상의 Young's modulus이고, b는 기공의 형태와 겹침에 따른 상수, p는 체적 기공률)의 식에도 관계가 있음을 알 수 있다[12, 38]. 액상의 기공형성이 나타나고 SiC grain과 입계 YAG상, 제 2차상 사이에 열팽창 차이가 ($\alpha_{YAG} : 8.0 \sim 9.0 \times 10^{-6}/[^\circ C]$, $\alpha_{ZrB_2} : 5.5 \sim 5.9 \times 10^{-6}/[^\circ C]$, $\alpha_{SiC} : 4.0 \sim 5.8 \times 10^{-6}/[^\circ C]$, 20 ~ 1,500[°C]에서)[11, 41-44] 높은 잔류 응력이 유도되어 micro crack[2, 13]이 나타나기 때문에 복합체의 Young's modulus가 기공이 많을수록 보다 낮게 나타나는 이유를 보완 설명할 수 있다.

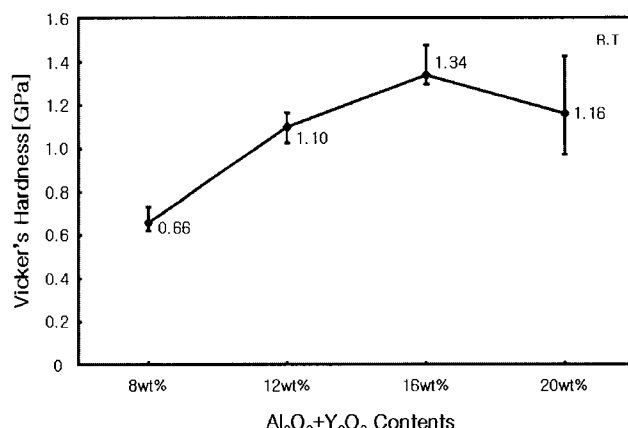


그림 6 Al₂O₃+Y₂O₃양의 변화에 따른 SiC-ZrB₂ 복합체의 Vicker's 경도

Fig. 6 Vicker's hardness of the SiC-ZrB₂ composites with Al₂O₃+Y₂O₃ contents

그림 6은 실온에서 Vicker's 압인법으로 측정한 평균값을 나타낸 것인데 소결조제 $\text{Al}_2\text{O}_3+\text{Y}_2\text{O}_3$ 의 첨가량이 8[wt%]일 때 0.66[GPa]로 가장 낮게 나타나고, 16[wt%]일 때 20[wt%]일 때의 1.16[GPa]보다 0.18[GPa] 높은 1.34[GPa]로 가장 높게 나타나고 있다. 이것은 상대 밀도와 같은 경향이고 똑같은 물성 해석으로 소결 조제 $\text{Al}_2\text{O}_3+\text{Y}_2\text{O}_3$ 의 첨가량이 20[wt%] 와 16[wt%] 일 경우 *In Situ* YAG상의 intensity peak가 그림 3의 X선 회절분석에 나타난 바와 같이 비슷하게 나타나지만 20[wt%]일 경우 소결과정 중 $\text{Al}_2\text{O}_3+\text{Y}_2\text{O}_3$ 의 파다 첨가로 SiC와 Al_2O_3 간의 반응으로[15,27] 인해 생성되는 Al_2O , SiO , CO등의 volatile components에 따른 시편 내부에서의 porosity가 *In Situ* YAG상의 생성보다 우선되었기 때문이다.

3.4 전기저항률

그림 7은 2단자법을 이용하여 상온에서 700[°C]사이의 온도 범위에서 각 온도당 50번씩 측정한 전기저항률의 평균값을 Log값을 취하여 나타내었다. 전기 저항률은 상온에서 소결조제 $\text{Al}_2\text{O}_3+\text{Y}_2\text{O}_3$ 의 첨가량이 8, 12, 16, 20[wt%]일 때 각각 2.20×10^2 , 5.08, 2.44×10^{-1} , $7.26 \times 10^{-1} \Omega \cdot \text{cm}$ 을 나타내었고, 700[°C]에서 각각 6.30, 7.75×10^{-1} , 3.14×10^{-2} , $1.48 \times 10^{-1} \Omega \cdot \text{cm}$ 로 감소하는 NTCR 특성을 나타내고 있다.

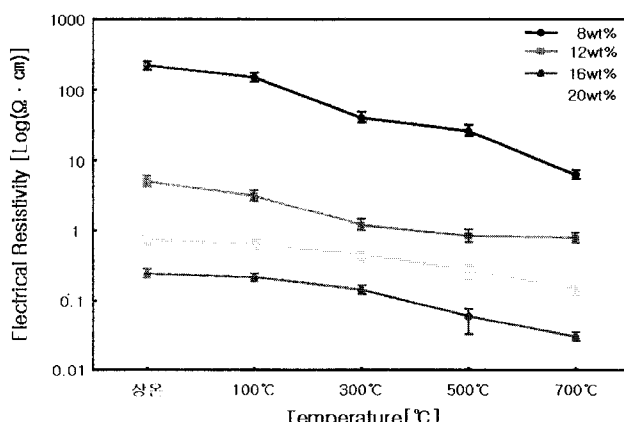


그림 7 SiC-TiB₂ 복합체의 전기 저항률 온도 의존성

Fig. 7 Temperature dependence of electrical resistivity of the SiC-TiB₂ composites

전기 저항률이 모두 다 NTCR(Negative Temperature Coefficient Resistivity)를 나타내는 특성은 천이금속 물질인 제2차상인 ZrB_2 입자의 chain formation에 의해 grain을 따라 흐르는 지배적인 신류인 압계전류보다 다음과 같은 SiC의 전기적 특성이 강하게 나타나았기 때문으로 사료된다.

SiC 단결정에서는 실온에서 전기 저항률이 약 0.13[$\Omega \cdot \text{cm}$]인데 거의 250[°C]까지는 NTCR(Negative Temperature Coefficient Resistivity) 특성으로 인하여 약 0.1[$\Omega \cdot \text{cm}$]까지 떨어졌다가 900[°C]에 도달하면 PTCR 특성 때문에 다시 약 0.16[$\Omega \cdot \text{cm}$]로 증가한다. SiC 단결정에서는 실온에서 전기 저항률이 0.1 ~ 0.13[$\Omega \cdot \text{cm}$]인데 거의 800[°C]까지는 NTCR 특성으로 인하여 실온의 전기 저항률의 1/3값으로 떨어졌다 가 1 이상의 온도부터는 서서히 전기 저항률이 증가되어

PTCR 특성이 나타난다. 이와 같은 차이는 SiC 단결정의 grain에 비하여 단결정체의 grain은 무척 작고 입계가 많이 있기 때문이다. SiC 단결정체에서는 소결온도가 800[°C]까지 증가할수록 grain이 성장하게 되고 grain이 성장되면 grain간의 neck폭이 증가하게 되어 전기 저항률이 낮아지는 경향이 있기 때문이다.

또한 전기저항률이 16[wt%]에서 가장 낮게 나타나는 이유는 그림 2에서 나타나듯이 $\text{Al}_2\text{O}_3+\text{Y}_2\text{O}_3$ 의 첨가량이 증가할수록 상대밀도가 증가하다가 20[wt%]일 경우 16[wt%]의 값보다 3.58[%] 더 낮은 85.44[%]로 가장 낮아지기 때문이다. 이것은 20[wt%]일 경우 소결과정 중 $\text{Al}_2\text{O}_3+\text{Y}_2\text{O}_3$ 의 파다 첨가로 SiC와 Al_2O_3 간의 반응으로[15, 27] 인해 생성되는 Al_2O , SiO , CO등의 volatile components에 따른 시편 내부에서의 porosity가 *In Situ* YAG상의 생성보다 더 우선되었기 때문이다.

4. 결 론

액상 소결조제 $\text{Al}_2\text{O}_3+\text{Y}_2\text{O}_3$ 의 첨가량을 8, 12, 16, 20[wt%]로 변화시켜 1,700[°C]에서 상암 소결한 도전성 β -SiC-ZrB₂ 복합체의 특성을 연구 조사한 결과는 다음과 같다.

1) β -SiC와 ZrB₂의 반응은 나타나지 않고 α -SiC(6H)과 *In Situ* YAG($\text{Al}_5\text{Y}_3\text{O}_{12}$)상이 나타나고 있다. 소결조제 $\text{Al}_2\text{O}_3+\text{Y}_2\text{O}_3$ 의 첨가량이 16[wt%]일 때의 상대밀도가 89.02[%]로 가장 높게 나타내고 있다.

2) 소결조제 $\text{Al}_2\text{O}_3+\text{Y}_2\text{O}_3$ 의 첨가량이 16[wt%]일 때 꺾임강도, Young's modulus와 vicker's 경도가 각각 81.58[MPa], 31.44[MPa]와 1.34[GPa]로 가장 높게 나타나고 있다.

3) 소결 조제 $\text{Al}_2\text{O}_3+\text{Y}_2\text{O}_3$ 의 첨가량이 16[wt%]까지 증가할수록 소결과정 중 SiC와 Al_2O_3 간의 반응으로 인해 생성되는 Al_2O , SiO , CO등의 volatile components에 따른 시편 내부에서의 porosity보다 더 *In Situ* YAG상이 생성이 우선되었기 때문에 16[wt%]의 제 특성이 가장 높게 나타나지만 첨가량이 20[wt%]가 되면 파다 첨가로 시편 내부에서의 porosity가 *In Situ* YAG상의 생성보다 우선되어 제 특성이 떨어지게 된다.

4) ZrB₂입자는 SiC matrix상에 제 2차상으로 존재하고 액상 소결을 위해 소결조제로 첨가한 $\text{Al}_2\text{O}_3+\text{Y}_2\text{O}_3$ 은 액상 반응하여 *In Situ* YAG상이 모든 SiC-ZrB₂ 복합체에서 나타나고 있다. SiC는 주로 6H polytype으로 변태하여 β 상에서 α 상으로의 상전이가 나타나며 *In Situ* YAG상에 의한 SiC elongated grain의 성장이 $\beta \rightarrow \alpha$ SiC로 상전이 변태와 직접적으로 관계가 있음을 알 수가 있다.

5) 전기 저항률은 상온에서 소결조제 $\text{Al}_2\text{O}_3+\text{Y}_2\text{O}_3$ 의 첨가량이 8, 12, 16, 20[wt%]일 때 각각 2.20×10^2 , 5.08, 2.44×10^{-1} , $7.26 \times 10^{-1} \Omega \cdot \text{cm}$ 을 나타내었고, 700[°C]에서 각각 6.30, 7.75×10^{-1} , 3.14×10^{-2} , $1.48 \times 10^{-1} \Omega \cdot \text{cm}$ 로 감소하는 NTCR 특성을 나타내고 있으며, 상대밀도의 경향에 의존하는 것을 알 수가 있다.

따라서 발열체 또는 점화기 제품에 이용될 가능성이 높은 SiC를 기저로 한 전도성 복합체의 제조를 위해서는 가압 annealing이 필요하고, 무가압 annealing을 했을 경우는

NTCR 특성을 나타내기 때문에 경제성이 떨어진다. 이를 해결하기 위해 좀더 경제적인 생산을 위해서 소결 시간을 10분 정도로 줄일 수 있는 FAST(Field-Activated Sintering Technique)에 의한 복합체의 제조 연구가 필요하다고 본다.

참 고 문 헌

- [1] Rong Huang, Hui Gu, Jingxian Zhang and Dongliang Jiang, "Effect of Y_2O_3 - Al_2O_3 Ratio on Inter-Granular Phases and Films in Tape-Casting α -SiC with High Toughness", *Acta Materialia*, 53[8], pp. 2521-2529, 2005.
- [2] Y. D. Shin and J. Y. Ju "Properties and Manufacture of the β -SiC-ZrB₂ Composites Densified by Liquid-Phase Sintering" *Trans. KIEE*, Vol. 48C[2], pp. 92-97, 1999.
- [3] Akira Kondo, "Electrical Conduction Mechanism in Recrystallized SiC", *Journal of the Ceramic Society of Japan Int. Edition*, Vol. 100, pp. 1204-1208, 1993.
- [4] S. G. Lee and Y. W. Kim, "Relationship between Microstructure and Fracture Toughness of Toughened Silicon Carbide Ceramics", *J. Am. Ceram. Soc.*, 84[6], pp. 1347-1353, 2001.
- [5] Joe J. Cao, Warren J. Moberlychan, Lutgard C. Dejonghe, Christopher J. Gilbert and Robert O. Ritchie "In Situ Toughened Silicon Carbide Al-B-C Additions", *J. Am. Ceram. Soc.*, 79[2], pp. 461-469, 1996.
- [6] Nitin P. Padture and Brian R. Lawn, "Toughness Properties of a silicon Carbide with an *In Situ* Induced Heterogeneous Grain Structure" *J. Am. Ceram. Soc.*, 77[10], pp. 2518-2522, 1994.
- [7] Warren J. MoberlyChan and Lutgard C. De Jonghe, "Controlling Interface Chemistry and Structure to Process and Toughen Silicon Carbide", *Acta Materialia*, 46[7], pp. 2471-2477, 1998.
- [8] L. K. L. Falk, "Microstructural Development during Liquid Phase Sintering of Silicon Carbide Ceramics", *Journal of the European Ceramic Society*, 17, pp. 983-994, 1997.
- [9] Diletta Sciti, Cesare Melandri and Alida Bellosi, "Properties of ZrB₂-Reinforced Tenary Composites", *Advanced Engineering Materials*, 6[9], pp. 775-781, 2004.
- [10] Mylene Brach, Diletta Sciti, Andrea Balbo and Alida Bellosi, "Short-Term Oxidation of a Ternary Composite in the System AlN-SiC-ZrB₂", *Journal of the European Ceramic Society*, 25, pp. 1771-1780, 2005.
- [11] Cathleen Mroz, "Zirconium Diboride" *J. Am. Ceram. Soc., Bull.*, 74[6], pp. 164-165, 1995.
- [12] Frederic Monteverde and Alida Bellosi, "Beneficial Effects of AlN as Sintering Aid on Microstructure and Mechanical Properties of Hot-pressed ZrB₂", *Advanced Engineering Materials*, 5[7], pp. 508-512, 2003.
- [13] Y. D. Shin, J. Y. Ju and Ch. Hwang, "The Properties of β -SiC-ZrB₂ Electroconductive Ceramic Composites with $Al_2O_3+Y_2O_3$ Contents", *Trans. KIEE*, Vol. 49C[9], pp. 516-521, 2000.
- [14] Guo-Dong Zhan, Rong-Jun Xie and Mamoru Mitomo, "Effect of β -to- α Phase Transformation on the Microstructural Development and Mechanical Properties of Fine-Grained Silicon Carbide Ceramics", *J. Am. Ceram. Soc.*, 84[5], pp. 945-950, 2001.
- [15] J. H. She and K. Ueno, "Densification Behavior and Mechanical Properties of Pressureless-Sintered Silicon Carbide Ceramics with Alumina and Yttria Additions", *Materials Chemistry and Physics*, 59, pp. 139-142, 1999.
- [16] D. Sciti and A. Bellosi, "Effects of Additives on Densification, Microstructure and Properties of Liquid-Phase Sintered Silicon Carbide", *J. Mat. Sci. Lett.*, 35, pp. 3849-3855, 2000.
- [17] D. Sciti, S. Guicciardi and A. Bellosi, "Effect of Annealing Treatments on Microstructure and Mechanical Properties of Liquid-Phase-Sintered Silicon Carbide", *Journal of the European Ceramic Society*, 21, pp. 621-632, 2001.
- [18] M. Nader, F. Aldinger and M. J. Hoffmann, "Influence of the α/β Phase Transformation on Microstructural Development and Mechanical Properties of Liquid Phase Sintered Silicon Carbide", *J. Mat. Sci.*, 34, pp. 1197-1204, 1999.
- [19] J. Y. Kim, Y. W. Kim, Mitomo, M., Zhan, G. D. and Lee, J. G., "Microstructure and Mechanical Properties of α -Silicon Carbide Sintered with Yttrium-Aluminum Garnet and Silica", *J. Am. Ceram. Soc.*, 82[2], pp. 441-444, 1999.
- [20] Adam L., Chamberlain, William G. Fahrenholtz and Gregory E. Hilmas, "High-Strength Zirconium Diboride-Based Ceramics", *J. Am. Ceram. Soc.*, 87[6], pp. 1170-1172, 2004.
- [21] Kristoffer Krnel, Diletta Sciti, Elena Landi and Alida Bellosi, "Surface Modification and Oxidation Kinetics of Hot-Pressed AlN-SiC-MoSi₂ Electroconductive Ceramic Composite", *Applied Surface Science*, 210, pp. 274-285, 2003.
- [22] Ken Takahashi and Ryutaro Jimbou, "Effect of Uniformity on the Electrical Resistivity of SiC-ZrB₂ Ceramic Composites", *J. Am. Ceram. Soc.*, 70[12], pp. C369-C373, 1987.
- [23] F. Monteverde and A. Bellosi, "Oxidation of ZrB₂-Based Ceramics in Dry Air", *Journal of The Electrochemical Society*, 150(11), pp. B552-B559, 2003.
- [24] Y. H. Koh, S. Y. Lee and H. E. Kim, "Oxidation Behavior of Titanium Boride at Elevated Temperatures" *J. Am. Ceram. Soc.*, 84[1], pp. 239-241, 2001.

- [25] Mark M. Opeka, Inna G. Talmy, Eric J. Wuchina, James A. Zaykoski and Samuel J. Causey, "Mechanical Thermal, and Oxidation Properties of Refractory Hafnium and Zirconium Compounds", *Journal of the European Ceramic Society*, 19, pp. 2405-2414, 1999.
- [26] Stanley R. Levine, Elizabeth J. Opila, Michael C. Halbig, James D. Kiser, Mrityunjay Singh and Jonathan A. Salem, "Evaluation of Ultra-High Temperature Ceramics for Aeropropulsion Use", *Journal of the European Ceramic Society*, 22, pp. 2757-2767, 2002.
- [27] Tor Grande, Hakson Sommerset, Eirik Hagen, Kjell Wilk and Mari-Ann Einarsrud, "Effect of Weight Loss on Liquid-Phase-Sintered Silicon Carbide" *J. Am. Ceram. Soc.*, 80[4], pp. 1047-1052, 1997.
- [28] Y. W. Kim, M. Mitomo, H. Emoto, J. G. Lee, "Effect of Initial α -Phase Content on Microstructure and Mechanical Properties of Sintered Silicon Carbide", *J. Am. Ceram. Soc.*, 81[12], pp. 3136-3140, 1998.
- [29] Y. W. Kim, M. Mitomo and H. Hirotsuru, "Microstructure Development of Silicon Carbide Containing Large Seed Grains", *J. Am. Ceram. Soc.*, 80[1], pp. 99-105, 1997.
- [30] F. Monteverde, A. Bellosi and S. Guicciardi, "Processing and Properties of Zirconium Diboride-based Composites", *Journal of the European Ceramic Society*, 22, pp. 279-288, 2002.
- [31] J. B. Hurst and S. Dutta, "Simple Processing Method for High-strength Silicon Carbide", *J. Am. Ceram. Soc.*, 70[11], pp. C303-C308, 1987.
- [32] Y. W. Kim, W. J. Kim and D. H. Cho, "Effect of Additive Amount on Microstructure and Mechanical Properties of Self-reinforced Silicon Carbide", *J. Mater. Sci. Lett.*, 16, pp. 1384-1386, 1997.
- [33] Kim, J. Y., Kim, Y. W., Lee, J. G., and Cho, K. S., "Effect of Annealing on Mechanical Properties of Self-reinforced alpha-Silicon Carbide", *J. Mat. Sci.*, 34, pp. 2325-2330, 1999.
- [34] V. A. Izhevskyi, L. A. Genova, A. H. A. Bressiani and J. C. Bressiani, "Microstructure and Properties Tailoring of Liquid-Phase Sintered SiC", *International Journal of Refractory Metals & Hard Materials*, 19, pp. 409-417, 2001.
- [35] Weimin Wang, Zhengyi Fu, Hao Wang and Runzhang Yuan, "Influence of Hot Pressing Sintering Temperature and Time on Microstructure and mechanical Properties of TiB₂ Ceramics", *Journal of the European Ceramic Society*, 22, pp. 1045-1049, 2002.
- [36] J. Ihle, M. Herrmann and J. Alder, "Phase Formation in Porous Liquid Phase Sintered Silicon Carbide: Part III: Interaction between Al₂O₃-Y₂O₃ and SiC", *Journal of the European Ceramic Society*, 25, pp. 1005-1013, 2005.
- [37] Peterson, I. M. and Tien, T. Y., "Effect of the Grain Boundary Thermal Expansion Coefficient on the Fracture Toughness of Silicon Nitride", *J. Am. Ceram. Soc.*, 78[9], pp. 2345-2352, 1995.
- [38] Frederic Monteverde, Stefano Guicciardi and Alida Bellosi, "Advances in Microstructure and Mechanical Properties of Zirconium Diboride based Ceramics", *Materials Science and Engineering A*, 346, pp. 310-319, 2003.
- [39] Ming-Jen Pan, Patricia A. Hoffman, David J. Green and John R. Hellmann, "Elastic Properties and Microcracking Behavior of Particulate Titanium Diboride-Silicon Carbide Composites" *J. Am. Ceram. Soc.*, 80[3], pp. 692-698, 1997.
- [40] L. J. Gibson and M. F. Ashby, "The Mechanics of Three-Dimensional Cellular Materials" *Proc. R. Soc. London* A382, pp. 43-59, 1982.
- [41] N.P. Padture, "In Situ-Toughened Silicon Carbide" *J. Am. Ceram. Soc.*, 77[2], pp. 519-523, 1994.
- [42] Guo-Jun Zhang, Zhen-Yan Deng, Naoki Kondo, Jian-Feng Yang and Tatsuki Ohji "Reactive Hot Pressing of ZrB₂-SiC Composites" *J. Am. Ceram. Soc.*, 83[9], pp. 2330-2332, 2000.
- [43] Neil N. Ault and John T. Crowe, "Silicon Carbide" *J. Am. Ceram. Soc. Bull.*, 74[6], pp. 150-151, 1995
- [44] K. Strecker, S. Ribeiro, R. Oberacker and M. J. Hoffmann, "Influence of Microstructural Variation on Fracture Toughness of LPS-SiC Ceramics" *International Journal of Refractory Metals & Hard Materials*, 22, pp. 169-175, 2004.

저 자 소 개



신 용 덕 (辛 龍 德)

1953년 11월 18일 생. 1983년 원광대 공대 전기공학과 졸업. 1983년~1988년 동대 연구 조교 및 강사. 1988년~1990년 계양전기(주) 중앙연구소 차장. 1991년 성균관대 대학원 전기공학과(공박). 1998년, 2005년 Pennsylvania State Univ. Visiting Professor. 현재 원광대 공대 전기전자 및 정보공학부 교수
Tel : 063-850-6736
Fax : 063-850-6736
E-mail : ydshin@wonkwang.ac.kr



주 진 영 (朱 隊 榮)

1974년 5월 16일 생. 1997년 원광대 공대
전기공학과 졸업. 1999년 동 대학원 전기
공학과 졸업(석사) 2002년 동 대학원 박
사과정 수료. 2002년~2006년 4월 한보
NISCO 기술연구소. 현재 발산공업 연구소
Tel : 063-850-6736
Fax : 063-850-6736
E-mail : nympe1052@paran.com



고 태 헌 (高 台 憲)

1980년 9월 14일 생. 2007년 원광대 공대
전기공학과 졸업. 현재 원광대학교 공대
전기전자 및 정보공학부 석사과정
Tel : 063-850-6736
Fax : 063-850-6736
E-mail : royeer@nate.com



이 정 훈 (李 政 勳)

1983년 8월 20일 생. 2008년 원광대 공대
전기공학과 졸업. 현재 원광대학교 공대
전기전자 및 정보공학부 석사과정
Tel : 063-850-6736
Fax : 063-850-6736
E-mail : ljh0820@hanmail.net